

공정제어에의 應用을 위한 마이크로 컴퓨터 시스템의 개발*

李泰鎬·朴源深·禹治水·李秀東·黃德浩**

전기공학과

〈요약〉

마이크로 프로세서를 이용한 디지털 공정제어 수단이 고찰되었다. 관심의 초점은 분산-종합제어에 적합한 단말제어 프로세서에 두었다. 시험 제작된 프로세서는 8개의 제어 투우프를 운전하는 득점된 제어장치이며 동시에 종합제어를 위하여 상위 전산기와 네이타 교환이 가능하도록 설계 되었다.

주기적 샘플링에 의한 비례-직분-미분(PID)제어방식을 기본으로 하고 있으며 파라메터 값에 의하여 PI, PD 등으로 축소될 수 있도록 하였다. 시험 장치에서는 주기를 2초로 하였는데 A/D변환기의 적절한 선정에 의하여 0.2초정도 까지는 쉽게 단축할 수 있다. 조작자용의 프로세서에 대한 고찰은 최소한의 기능을 가진 것에 한정하였으며 이는 실제 적용 현장과 관련하여 기능이 확장되어야 할 것이다.

사용된 마이크로 프로세서는 범용의 것으로 단말용에는 M6800계통을, 조작자용에는 SC/MP계통을 사용하였다.

Development of Microcomputer System for the Application to Process Control

Tai Ho Lee, Won Shim Park, Chi Soo Woo, Soo Dong Lee
and Duk Ho Hwang
Dept. of Electrical Eng.

〈Abstract〉

A microprocessor based digital process controller has been studied. The objective was to develop a stand-alone terminal processor for distributed on-line control systems.

The prototype terminal proposed in this paper has the capability of handling eight independent control loops under the supervisory control of main computer and/or operator console.

The control algorithm follows analog PID action based on periodically sampled data. The control action can also be reduced to PI, PD and so forth through parameter assignment. Availability of A/D converters to the authors limited sampling period to 2 seconds, but it could easily be reduced to 0.2 sec. employing appropriate A/D devices.

The number of operational functions of console processor is kept minimum in this study, the expansion of which should be done for particular application. Hardware implementation was done with general purpose microprocessors; M6800 system for terminal and SC/MP system for console.

I. 서 론

1960년 영국의 ICI사에 의하여 디지털방식에 의

한 공정제어의 시도가 최초로 이루어진 이래 DDC
(Direct Digital Control)의 연구도 끊임없이 진행

되어 왔으나 (1)(2)(3)(4), 그 유리한과 아울러 여

*본研究는 文教部 정책과제 연구비의 지원으로 이루어졌다.
**韓國電力(株)

터가지 문제점을 안고 있어서 일반 산업계에의 보급이 어려웠다. 즉 단일 제어장치에 의한 짐승제어 방식은 제어대상과 제어장치와의 1대 1의 구조적 관련이라는 종래의 개념에서 근본적으로 벗어나야 하므로 기존 생산기구의 인적 또는 계통적인 대 개혁을 필요로 하고 단일 메이타 전송로 등의 일부에 고장이 생기면 전 시설의 운전이 정지될 위험을 내포하고 있다는 불안등이 따르므로 기존산업 조직으로부터 우선 심리적 저항을 받을 요소를 가지고 있다.

최근 각종 마이크로 프로세서들이 개발, 보급되어 위의 문제들 중 많은 부분을 해소할 수 있는 가

능성이 열리게 되었고 각국의 대 메이커들이 독자적 계통들을 소개하기에 이르렀다(4)(5)(6). 그럼 1은 그 중 두 예를 보인 것인데 단말프로세서—조작자 프로세서—주전산기라는 3자의 유기적 관련 운전을 보여하고 있다. 이 제어 기구의 최하층 구조를 이루고 있는 단말 프로세서는 제어 작용을 직접 담당한다는 점에서 종래의 공기식 또는 전자식 단일 부포 측정 제어장치와 같은 역할을 하면서 동시에 상위 전산기와 교신하여 종합제어를 가능하게 하는 양면의 중요성을 지니고 있다.

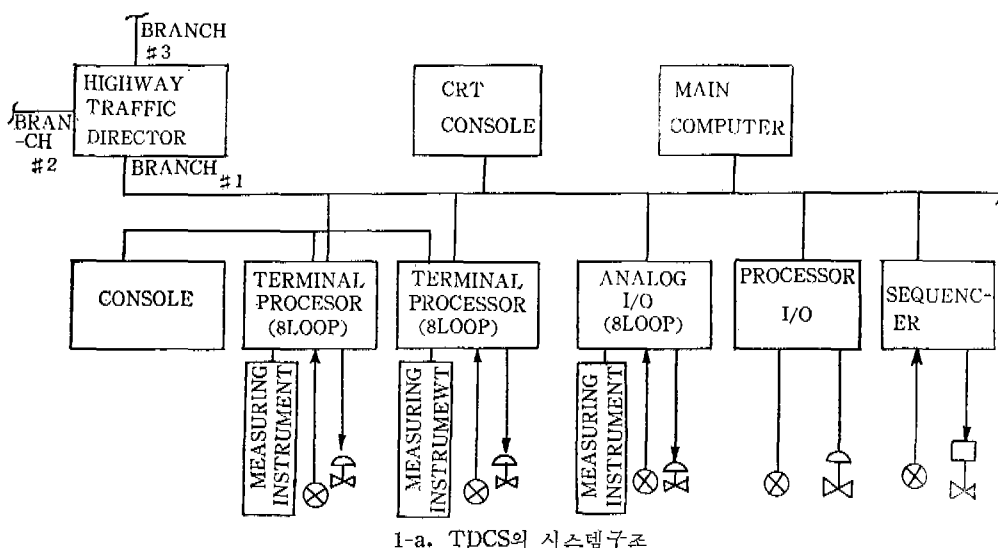
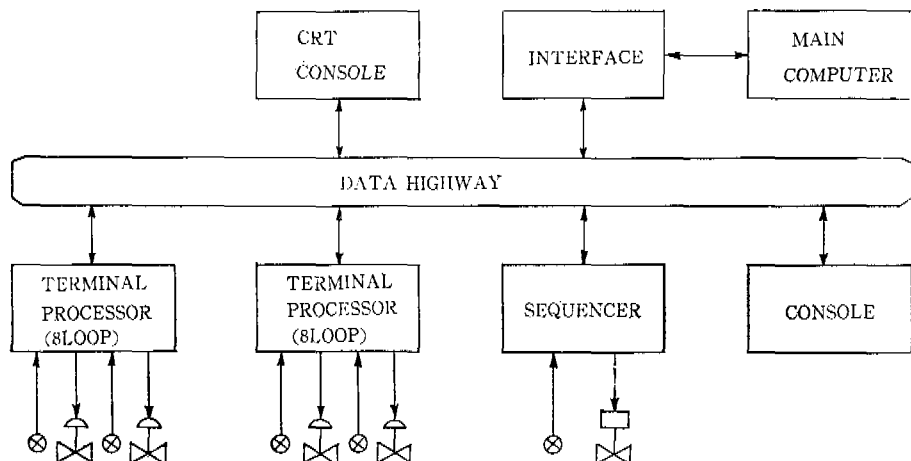


그림 1. DDC계통의 예



1-b. MICREX의 시스템 구조

국내의 계측기 및 제어장치 산업은 극히 미약하며 산업체에 설치 운영되고 있는 공기식 또는 전자식 제어장치들이 거의 대부분 외국회사에 의존하고 있는 형편이니 전산기 제어에 이르러서는 연구초자 전무한 실정이다. 장래의 프랜트들의 제어 방식이 전산화 되리라는 전망에 비추어 이 방향의 개발도 시급히 이루어져야 하리라고 생각된다.

본 연구에서는 마이크로 프로세서를 이용하여 범용 단말 프로세서를 설계, 제작하고 제어 프로그램을 개발하였다. 시작품은 8개의 제어 루프에 대한 제어요소로서의 기능을 가지며 동시에 상위전산기와 교신하여 필요한 메이타를 교환할 수 있는 표준형태를 모색하였다. 프로그램 개발에는 융산공대의 LOUGHBOROUGH대학이 공동 개발한 크로스 아센블러를 이용하였으며 사용한 전산기는 CTL MODULAR ONE이다.

II. 단말 프로세서의 기능 설계

1. 기능 설정

단말 프로세서는 수개 대지 수십 개의 녹립된 제어 루프를 수용할 수 있어야 하며 상위 기구의 계측적인 지령이나 도움없이 독자적으로 할당된 제어루프들의 동작을 유지하여야 한다. 또한 필요할 때는 조작자 및 상위 전산기와 교신하여 자료를 전송하거나 지령을 접수할 수 있어야 한다.

본 연구에서는 이러한 기능을 다음과 같이 설정하였다.

가. 단말 프로세서 1개가 담당할 제어 루프의 수는 8개로 한다. 16 또는 32개 루프로 수를 늘리는 것은 간단한 일이지만 그만큼 고장에 대한 영향도 커진다.

나. 제어의 방식은 PID를 표준으로 하여 P,I 및 D에 관련된 파라미터들의 값에 의하여 P,PI등의 형태가 결정된다. 종속제어 등은 일단 고려하지 않았다.

다. 상위 기구와의 교신을 위한 메이타 하이웨이는 평상시에는 단말 장치로 부터 단절(OFF-LINE)되어 있도록 하여 필요에 의한 접속(ON-LINE)의 주도권은 단말 프로세서에 부여한다. 이 과정은 ① 인터럽트→② 승인→③ 하이웨이의 접속, 이라는 단계에 의하여 이루어지는 데 인터럽트가 어느 편에서 발생되었는지에 관계없이 하이웨이 접속의 작업은

단말 장치가 담당한다. 이러한 방법은 전체 제어계통이 단순화되지만 융통성이 적어질 염려가 있으나 상위 기구의 인터럽트는 고장시의 긴급 절전이나 장치 교환 후 초기 운전에 한정되도록 단말프로세서의 동작 알고리즘이 설계되었으므로 문제가 없을 것이라고 생각된다.

라. 제어 방식과 파라미터 : 서론에서 언급한 바와 같이 제어 방식은 PID에 의존하기로 하였다. 단일 루프 제어 방식으로는 더 넓은 DDC고유의 수단이 개발되어 있지 않으며 샘플링 시간단 적당히 잡으면 아나로그 장치와 흡사한 결과를 얻을 수 있으므로 마이크로 프로세서 터미널에 적합한 방식이다[3][7].

제어 연산의 아나로그 표현식은 다음과 같다.

$$m(t) = K_P e(t) + K_I \int e(t) dt + K_D \frac{de(t)}{dt} \quad (1)$$

$$e(t) = r(t) - b(t) \quad (2)$$

여기 사용된 기호들은 다음과 같다.

$m(t)$: 조작량

K_P : 미례 감도

K_I : 적분제어 계수=비례 감도×티세트율

K_D : 미분제어 계수=비례 감도×미분시간

$e(t)$: 편차 또는 동작신호

$r(t)$: 기준치

$b(t)$: 제한량

식(1)의 연산을 위해서는 기준치, K_P , K_I 및 K_D 의 4개 파라미터가 결정되어야 하며 이들은 데이타하이웨이를 통하여 상위기구로 부터 공급되어 진다. 제어 연산은 다음 절에서 설명하는 바와 같이 주기적으로 반복되며 매주기마다 한번씩 제어 파라미터들을 새로이 확인하게 되므로 필요할 때는 파라미터의 변환이 가능하다. 소규모의 계통에서는 단말 프로세서를 단독으로 제어 장치로 사용할 수 있으며 이때에는 파라미터를 조텐션메타에 의해서 정해 주도록 하는 것이 편리하고 조텐션메타들에 기억 소자의 번지를 할당해 주기만 하면 된다.

2. 프로세서의 동작

단일 제어 루프의 동작의 관점에서 보면 본 연구의 단말 프로세서는 그림 2와 같이 단순한 PID 제어요소에 불과하다. 이 제어요소에 전달에서 설정된 기능을 부여하면 단말 프로세서의 동작 프로우차트는 그림 3과 같이 되며 실제 프로그램을 부록에 실었다.

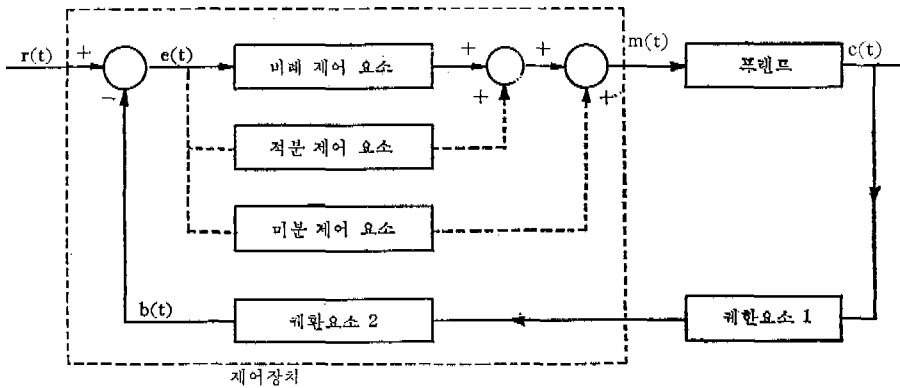


그림 2. PID제어계통도

처음 장치가 리세트되면 시스템 초기조정(Initialization)이 이루어진다. 이 단계에서 결정되어야 하는 것들로는 인터럽트 써어비스 루우틴 포인터, 스펙 포인터, PIA(Peripheral Interface Adapter) 상태 설정 등인데 본 연구에서는 EVALUATION-KIT를 사용하였으므로 NMI(Nonmaskable Interrupt) 써어비스와 스펙 포인터는 KIT에 포함된 JBUG 고니더 ROM의 기능을 이용하고 나머지 사항은 추가하였다[9][10].

초기 조정에 이어서 타이밍 신호를 받아들여 정상 운전 루우틴에 들어가게 되면 먼저 조작자축의 기억장치(MEMORY BLOCK2)에 보관되어 있는 파라미터들을 단발 프로세서 기억장치(MEMORY BLOCK1)로 옮겨오고, 다음에 입력 즉 프랜드에서 측정된 케한량을 읽어들여 제어 연산을 거쳐 출력 즉 프랜트에 공급될 조작량을 발생시킨다. 8개의 제어루우트를 순차적으로 처리하면 제어동작은 끝난다.

그 결과를 다시 데이터 하이웨이를 통하여 조작자축에 전송하던 한 루우트이 전부 끝나고 다음 타이밍 신호를 대기하게 된다. 이하 각 부분을 설명하기로 한다.

가. 타이밍: 속도의 관점에서 보면 타이밍은 불필요하며 제어 루우트을 연속적으로 회전시키는 것이 유리하지만 일반적으로 제어 대상의 시정수가 긴 것을 고려할 때 고속회전은 무의미하다. 따라서 제어 연산의 편리를 위하여 속도를 약간 회생하고 일정주기로 회전하는 방식을택하였다. 적분제어와 미

분제어에서 주기를 일정하게 하면 프로그램이 매우 단순해지기 때문이다. 8개 루우트의 경우면 1회전에 100ms정도의 시간이 필요하며 일반 용도에는 충분한 정도이나 본연구에서 시험 제작한 장치에서는 시중의 저급한 A/D변환기를 사용하였으므로 한주기를 2초로 하였다. 특별한 용도로 주기를 100ms 이하로 높이려면 고속 A/D변환기를 사용함은 물론이고 프로세서도 16비트 바탕으로 둬 것을 이용하는 것이 좋을 것이다.

나. 데이터 교환: 제어 파라메타를 읽어 들일 때 (그림 3(A))와 출력력 데이터를 조작자축으로 전송 할 때 (그림 3(B))의 두 경우에는 프로세서와 프로세서 간의 데이터 교환이 필요하게 된다. 두 경우 모두 단발 프로세서에 의한 DMA수법으로 인을 단순화 하였다. 그림 4에 보인 바와 같이 조작자 프로세서는 DMA승인 신호만을 보내고 단절되도록 하였으며 DMA요청이 2회 거듭되어도 승인이 되지 않으면 이를 포기하고 다음 단계로 진행하게 하였는데 이것은 데이터 하이웨이나 조작자 프로세서에 이상이 있을 때에도 당분간은 제어 동작을 계속유지하기 위함이다.

단발 프로세서 단독으로 동작시키고자 할 때 세트 포인트 방식을 사용하면 포텐ショ메타 카드를 데이터 하이웨이에 접속하고 승인 신호를 항상 발생하도록 해두면 좋을 것이다. 그렇게 하면 단발 프로세서의 소프트웨어나 하드웨어를 전혀 변경시키지 않고 사용할 수 있다.

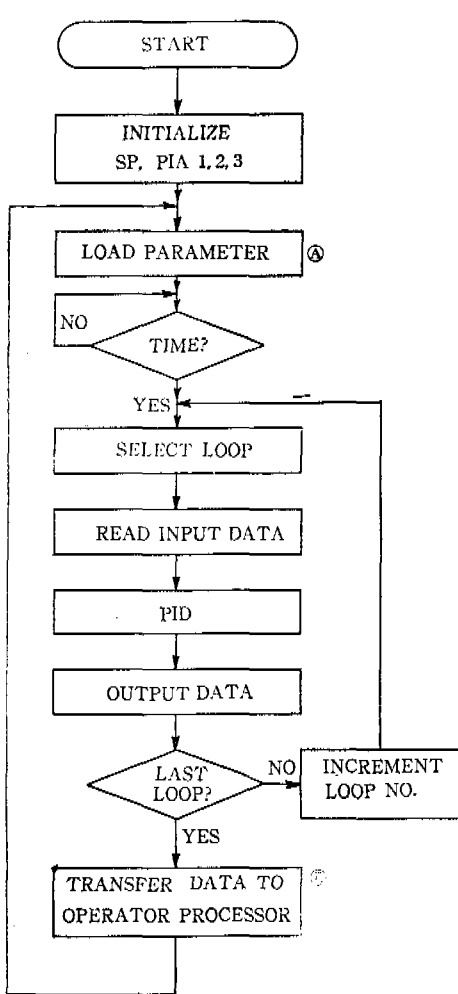


그림 3. 단말 프로세서의 동작 프로우차트

다. 입력 : 입력은 단순히 아나로그 멀티프렉서를 조작하여 해당부우프의 케환량을 A/D변환기 및 PIA 를 통하여 읽어 들어民办 되는데 시작점에서는 회로 계용변환기를 사용하였으므로 다소 이 과정이 복잡하여 겼다. 속도가 문제되지 않는 경우에는 가격면에서 이 방법도 이용 가능하리라고 생각된다.

라. 제어 연산 : 제어 방식은 비례(P), 적분(I) 및 미분(D) 연산만을 고려하였으므로 이 과정은 적선적으로 처리된다. P,I 및 D의 어떤 조합을 이용할 것인가 하는 것은 단순히 파라메터 값에 의하여 판정하도록 하였다. 연산식은 식(1)과 (2)를 변형하여 다음의 형태로 사용하였다[3].

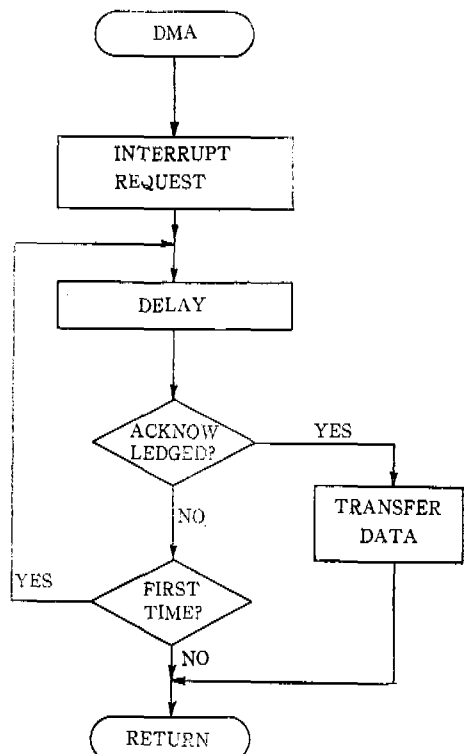


그림 4. DMA 루틴

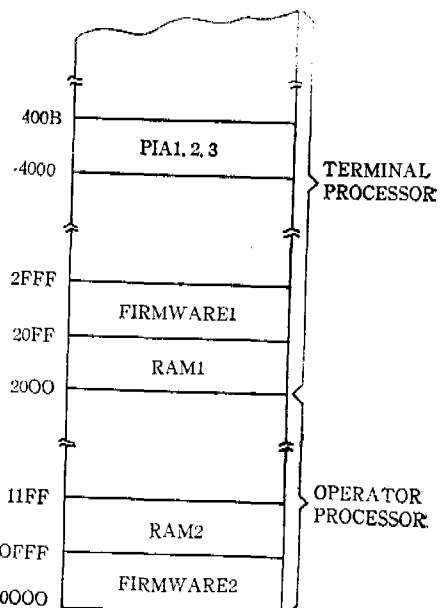


그림 5. 번지 할당

$$M(m) = K_p \cdot E_n + K_I \sum_{i=0}^n E_i D_T + K_D (E_{n-1} - E_n) / D_T \quad (3)$$

$$E(n) = R_n - B_n \quad (4)$$

여기서 M , E_n , R_n 및 B_n 은 각각 $m(t)$, $e(t)$, $r(t)$ 및 $b(t)$ 을 주기적으로 샘플링한 값이며 D_T 는 샘플링 주기를 나타낸 것이다. 일정 주기에 의한 운전이 편리하다는 것은 식(3)에서 곧 알 수 있다.

다. 번지 할당: 번지의 할당은 그림 5와 같다. MPU에서는 PIA들도 기억 소자로 간주되어 2개의 어드레스 선으로 호출된다.

III. 조작자 프로세서

다수의 단말 프로세서들은 데이터 하이웨이를 통하여 조작자 프로세서와 연결된다. 조작자 프로세서가 가져야 할 기능을 열거해 보면 단발축에 대해서는 ①파라메타의 제공, ②입출력 상황의 기록 및 보존, ③운전 상태의 감시, ④이상 진단 및 처리 등이 있고, 주변장치와 관련해서 ⑤지시기의 운전, ⑥정시 및 수시 보고 작성, ⑦조작자 키보드와의 교신, ⑧경보의 발생등이 있다. 주 전산기가 있을 때에는 업무의 상당 부분이 이관 되겠으나 ①, ②, ③항의 일부 및 ⑤, ⑥, ⑦, ⑧항은 반드시 담당하여야 할 것이다.

1개의 마이크로 프로세서로써 이 모든 업무를 처리하기에는 다소 무리라고 생각되며 또 이 중에는 구체적 제어 대상과 관련해서만이 파악되는 것이 있으므로 본 연구에서는 단말 프로세서를 유지하기 위한 최소한의 기능인 ①, ⑥ 및 ⑦항만을 구현하기로 하였다. 그림 6에 동작 프로우 차트를 보았으면 기능을 약술하면 다음과 같다.

가. ~~제어~~ 보고: 자동적으로 매 시간마다 미리 정해진 형식에 입출력 및 파라메터 상황을 기록해낸다. 구현은 그 한 예이다.

나. 수시 보고: 조작자 키보드의 지령 'R'에 의하여 보고서를 작성하여 형태는 정시 보고와 같다.

다. 파라메터 변환: 지령 'P'에 의하여 기억 장치의 파라메터 부분을 열며 그 후에는 조작자가 기입하는 대로 파라메터가 기억 장치에 기록된다.

라. 지령 'O': 작업 중지

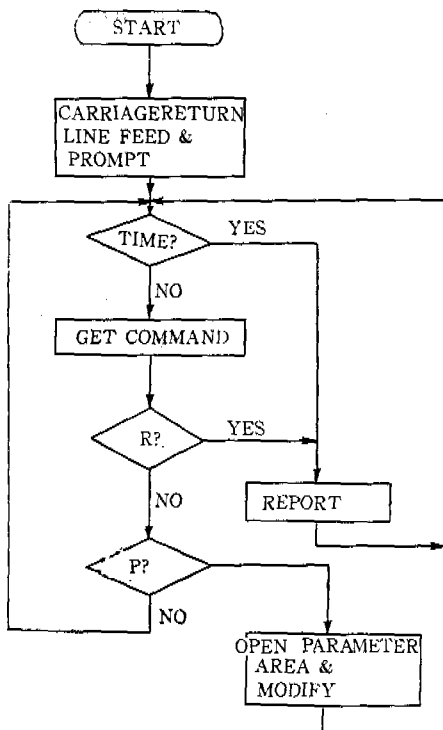


그림 6. 조작자 프로세서의 동작 프로우차트

TIME 12:00:00

| | LOOP | REF | KP | TI | TD | INPUT | OUTPUT |
|----|------|-------|-------|------|------|-------|--------|
| 00 | .324 | 0.500 | 10.00 | 1.00 | .331 | .455 | |
| 01 | .222 | 0.800 | 50.00 | 1.00 | .155 | .999 | |
| 02 | .000 | 0.000 | 10000 | 0.00 | .000 | .000 | |
| 03 | .100 | 0.235 | 100.0 | 0.50 | .101 | .321 | |
| 04 | .500 | 2.000 | 10000 | 0.00 | .510 | .100 | |
| 05 | .750 | 2.500 | 10000 | 1.50 | .750 | .000 | |
| 06 | .450 | 1.000 | 60.00 | 1.80 | .450 | .055 | |
| 07 | .000 | 0.000 | 65535 | 0.00 | .000 | .000 | |

그림 7. 정시보고의 예

IV. 하드웨어 구성

기본적 구성은 MPU(Microprocessor Unit)보드와 기억 장치, 그리고 인터페이스 보드의 세 부분이며 그림 8에 볼록 다이아그램을 보였다. 각 부를 간단히 설명한다.

1. MPU 모듈

MPU 모듈은 프로세서 칩과 클럭 발생기, 버스

라인을 위한 바퍼와 트랜시이버, 그리고 어드레스 페코더를 포함한다.

본 연구에서는 MPU1(단말용)에는 MEK6800 D2 KIT를, MPU2(조작자용)에는 SC/MP KIT를 사

용하였으므로 위의 소자를 외에 모니터 ROM, 카셋 테이프 및 키보드용 인터페이스가 부가되어 있어 소프트웨어 개발에 많은 도움을 받았으나 완제품에는 부가된 부분이 불필요하다.

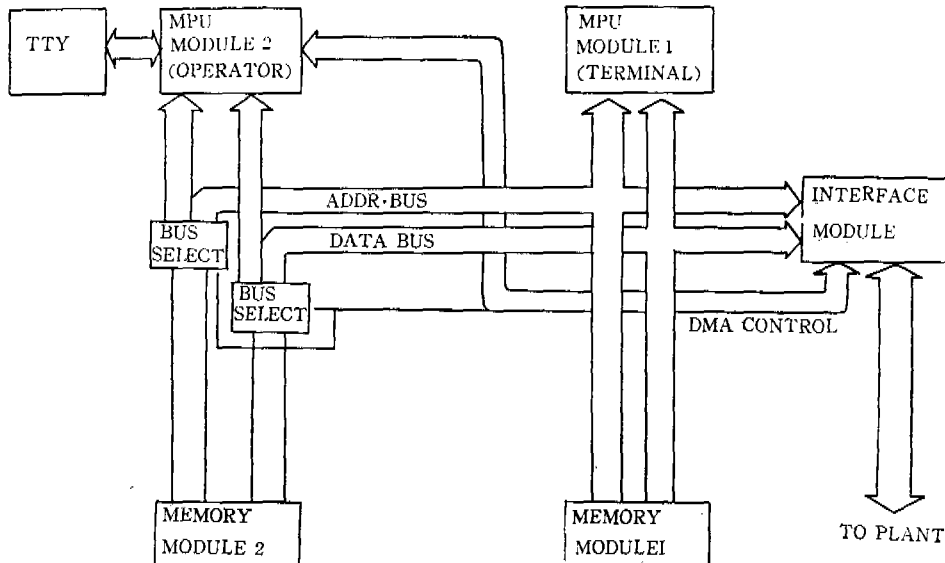


그림 8. 하드웨어 구성도

2. 인터페이스 모듈

인터페이스의 기능은 프랙트와 아나로그 신호의

교환, 각종 콘트롤 신호의 발생 및 접수, 시각 점검의 세 가지인데 그림 9에 보인 바와 같이 세 개의 PIA와 한개의 A/D변환기, 8개의 D/A변환기로

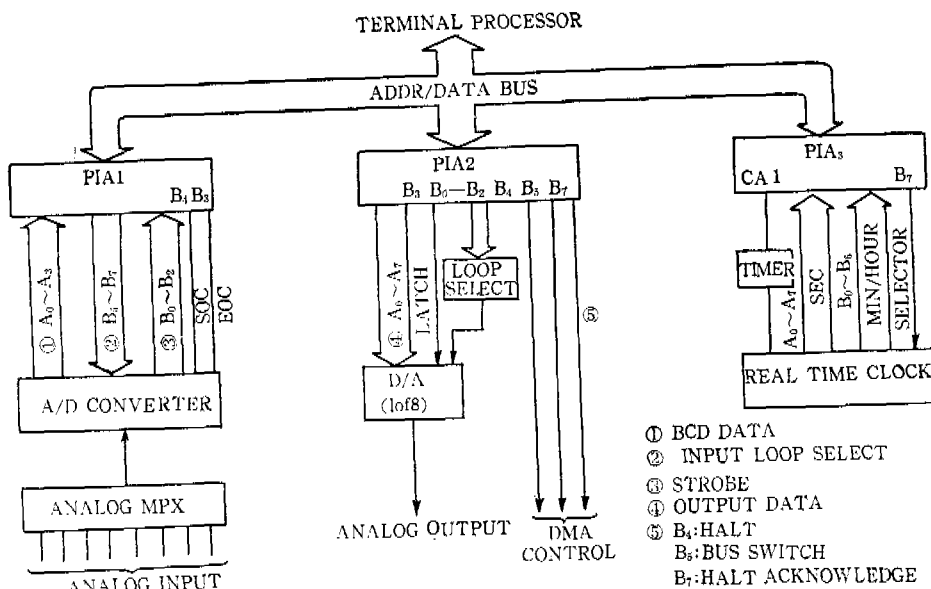


그림 9. 인터페이스 모듈

구성된다. 여기서 A/D변환기의 변환 속도가 전체의 동작에 치명적 영향을 주므로 선정에 유의하여야 하는데 최근 하이브리드 IC에 의한 여러가지 제품이 소개되고 있으므로 대부분의 목적에 맞는 것을 구할 수 있을 것이다.

본 연구에서는 LD110과 111을 한 조로 하여 사용하였는데 속도가 느리고 데이터를 4회에 나누어 내놓도록 되어 있어 그림 9에서와 같이 스트로보 신호를 이용해야 하는 불편이 있으므로 시정수가 긴 제어대상 외에는 이용하지 않는 것이 좋겠다.

타이밍 인터럽트는 프로세서에 직접 가하지 않고 PIA인터럽트 단자를 이용하였다. 인터럽트가 들어오면 PIA내부 레지스터의 FLAG가 변화를 받으며 이를 데이터 버스를 통하여 점검한다.

콘트롤 신호는 DMA요청, DMA승인, 데이터 및 어드레스 버스 스위칭의 3개이다.

3. 기억 장치

단말 측과 조작자 측에 각각 2KB의 RAM을 사용하였다. 단말측 기억소자의 대부분은 프로그램이 차지 하기 완제품에서 이 부분은 ROM으로 하여야 할 것이다. RAM은 128바이트면 되는데 순간적 전력사고 등을 대비하여 비휘발성의 것을 사용하는 것이 적당하나 시제품에서는 모두 MOS RAM으로 하였다. 조작자 측의 동작 기능을 강화하려면 용량을 8~16KB정도로 증가시켜야 할 것이다.

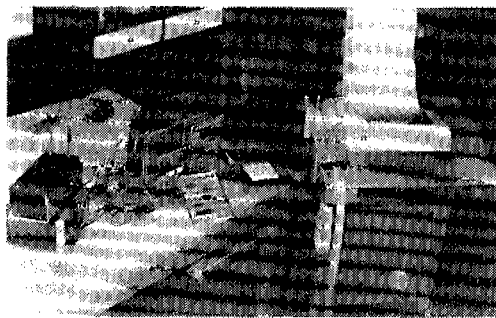


그림 10. 프로세서와 주변장치

V. 결 론

분산-종합제어 방식에 알맞는 단말용 디지털 프로세서 계통을 구성하고 프로그램을 개발하였다. 몇 가지 확인된 사항은 ①아나로그 제어의 개념에서

크게 벗어나지 않으며 동시에 종합제어를 용이하게 할 수 있다. ②소규모 제어 대상은 단독으로 운전 할 수 있다. ③범용 마이크로 프로세서로 충분히 제어 계통을 구성할 수 있다. ④프로그램의 크기는 2KB 내외이면 충분하다. ⑤A/D변환기의 성능이 동작에 중요한 영향을 미친다.

디지털 방식에 의한 분산-종합제어는 현재 개발 단계에 불과하나 앞으로 프랜트 제어뿐만 아니라 광범위한 이용 분야가 개척되리라고 예상된다. 화무지나 다름없는 국내 제어장치 산업체로서는 디지털 제어는 요원한 느낌이 있으나 장치 구성의 개념이 아나로그 방식과는 다르므로 공기식 및 전자식 장치의 과정을 거치지 않고 직접 개발에着手할 수 있다고 생각된다.

참 고 문 헌

1. H. Amrehn, "Computer Control in the Polymerization Industry, Automatica", vol. 13, pp. 533~545, 1977.
2. M. A. Keyes, "Pulp, Paper and Allied Industry Digital Process Control Systems Status and Trends", Automatica, vol. 13, pp. 547~551, 1977.
3. E. H. Bristol, "Designing and Programming Control Algorithms for DDC Systems", Control Engineering, Jan. 1977, pp. 24~26.
4. S. J. Bailey, "Process Control '77 : Profile of Profusion", Control Engineering, Aug., 1977, pp. 33~36.
5. S. J. Bailey, Direct Digital Control: The On-Line Scene Today, Control Engineering, Jan., 1977, pp. 20~23.
6. 渡邊成一. "マイクロコンピュータ應用計装システムオートメーション", vol. 22, No. 8, pp. 97~101, Aug., 1977.
同, No. 9, pp. 101~105, Sept., 1977.
同, No. 10, pp. 101~105, Oct., 1977.
7. M. Reed and H. W. Mergler, "A Microprocessor-Based Control System", IEEE Trans. vol. IECI-24, No. 3, pp. 253~257, Aug., 1977.
8. Katsuhiko Ogata, "Modern Control Engineering", Prentice-Hall, Inc., 1970.
9. MEK6800 D2 Evaluation Kit II Manual, Motorola Inc., 1977.
10. SC/MP Technical Description, National Semiconductor Co., 1976.
11. M6800 Microprocessor Application Manual, Motorola Inc., 1975.

부록. 단말 프로세서 프로그램

ULSAN INSTITUTE OF TECHNOLOGY MOTOROLA 6800 CROSS ASSEMBLER
SUPPLIED BY DEPARTMENT OF ELECTRONIC AND ELECTRICAL ENGINEERING
Loughborough University of Technology England

OUTPUT IN MOTOROLA MIKBUG LOADER FORMAT

NO ERRORS FOUND IN PASS ONE

NO WARNINGS IN PASS ONE

45 PERCENT OF SYMBOL TABLE USED

| | | | | | | | | |
|----|------|--------|------------|----|------|--------|--------|--------------------|
| 1 | | NAM | CONTRL | 33 | 70AF | U3 | RMB | 1 |
| 2 | 4000 | PIA1AD | EQU \$4000 | 34 | 20B0 | LPNO | RMB | 1 |
| 3 | 4001 | PIA1AS | EQU \$4001 | 35 | 20B2 | ORG | \$20B2 | |
| 4 | 4002 | PIA1BD | EQU \$4002 | 36 | 20B2 | TMPXO | RMB | 1 |
| 5 | 4003 | PIA1BE | EQU \$4003 | 37 | 20B3 | TMPX01 | RMB | 1 |
| 6 | 4004 | PIA2AD | EQU \$4004 | 38 | 20B4 | TMPX1 | RMB | 2 |
| 7 | 4005 | PIA2AS | EQU \$4005 | 39 | 20B6 | TMPX2 | RMB | 2 |
| 8 | 4006 | PIA2BD | EQU \$4006 | 40 | 20B8 | TMPX3 | RMB | 1 |
| 9 | 4007 | PIA2BS | EQU \$4007 | 41 | 20B9 | TMPX31 | RMB | 1 |
| 10 | 4008 | PIA3AD | EQU \$4008 | 42 | 20BA | TMPX4 | RMB | 1 |
| 11 | 4009 | PIA3AS | EQU \$4009 | 43 | 20BB | TMPX41 | RMB | 1 |
| 12 | 400A | PIA3BD | EQU \$400A | 44 | 20BC | TMPX5 | RMB | 2 |
| 13 | 400B | PIA3BS | EQU \$400B | 45 | 2100 | CE | 4001 | ORG \$2100 |
| 14 | 1000 | MEMBL2 | EQU \$1000 | 46 | 2103 | C6 | 06 | LDX #PIA1AS |
| 15 | 1040 | MEM210 | EQU \$1040 | 47 | 2105 | 6F | 00 | LDAW #6 |
| 16 | 2000 | ORG | \$2000 | 48 | 2107 | 08 | | CLR1 O,X |
| 17 | 2000 | PARAMT | RMB 64 | 49 | 2108 | 08 | | INX |
| 18 | 2040 | IODATA | RMB 32 | 50 | 2109 | 5A | | INX |
| 19 | 2060 | SEC | RMB 1 | 51 | 210A | 26 | FB | DEC8 |
| 20 | 2061 | MIN | RMB 1 | 52 | 210C | 86 | 00 | BNE CLR1 |
| 21 | 2062 | HOUR | RMB 1 | 53 | 210E | B7 | 4000 | LDAA #800 |
| 22 | 2070 | ORG | \$2070 | 54 | 2111 | 86 | F0 | STAA PIA1AD |
| 23 | 2070 | ERROR | RMB 48 | 55 | 2113 | B7 | 4002 | LDAA #8F0 |
| 24 | 2040 | BCDIN | RMB 7 | 56 | 2116 | 86 | FF | STAA PIA1BD |
| 25 | 2047 | Y0 | RMB 1 | 57 | 2118 | B7 | 4004 | LDAA #8FF |
| 26 | 2048 | Y1 | RMB 1 | 58 | 211B | 86 | 3F | STAA PIA2AD |
| 27 | 2049 | FF | RMB 1 | 59 | 211D | B7 | 4006 | LDAA #83F |
| 28 | 20AA | XX0 | RMB 1 | 60 | 2120 | 86 | 00 | STAA PIA2BD |
| 29 | 20AB | XX1 | RMB 1 | 61 | 2122 | B7 | 4008 | LDAA #0 |
| 30 | 20AC | U0 | RMB 1 | 62 | 2125 | 86 | 80 | STAA PIA3AD |
| 31 | 20AD | U1 | RMB 1 | 63 | 2127 | B7 | 400A | LDAA #830 |
| 32 | 20AE | U2 | RMB 1 | 64 | 212A | CE | 4001 | LDX #PIA1AS |
| | | | | 65 | 212D | 86 | 04 | LDAA #4 |
| | | | | 66 | 212F | C6 | 06 | LDBA #6 |
| | | | | 67 | 2131 | A7 | 00 | CLR2 STAA 0,X |
| | | | | 68 | 2133 | 08 | | INX |
| | | | | 69 | 2139 | 08 | | INX |
| | | | | 70 | 213A | 08 | | DECB |
| | | | | 71 | 2135 | 5A | | DEC8 |
| | | | | 72 | 2136 | 26 | F9 | BNE CLR2 |
| | | | | 73 | 2138 | CE | 1000 | PARALD LDX #MEMBL2 |
| | | | | 74 | 213B | FF | 2084 | STX TMPX1 |
| | | | | 75 | 213E | CE | 2000 | LDX #PARAMT |
| | | | | 76 | 2141 | FF | 2082 | STX TMPX0 |
| | | | | 77 | 2144 | FF | 2086 | STX TMPX2 |
| | | | | 78 | 2147 | C6 | 40 | LDBA #64 |
| | | | | 79 | 2149 | BD | 22E3 | JSR TRANS |
| | | | | 80 | 214C | B6 | 4009 | TIME LDAA PIA3AS |
| | | | | 81 | 214F | 49 | | ROLA |
| | | | | 82 | 2150 | 24 | FA | BCC TIME |

| | | | | | | | | | | |
|-----|------|----|------|--------|------------|--------|------|------|------|------|
| 83 | 2152 | B6 | 4008 | LDAA | PIA3AD | 133 | 2104 | 18 | ARA | |
| 84 | 2155 | B7 | 2060 | STAA | SEC | 134 | 2105 | 58 | ASLB | |
| 85 | 2158 | B6 | 00 | LDAA | #0 | 135 | 2106 | 58 | ASLB | |
| 86 | 215A | B7 | 400A | STAA | PIA3BD | 136 | 2107 | 18 | ABA | |
| 87 | 215D | B6 | 400A | LDAA | PIA3B0 | 137 | 2108 | E6 | 01 | |
| 88 | 2160 | B7 | 2061 | STAA | MIN | 138 | 210A | 58 | ASLB | |
| 89 | 2163 | 96 | 80 | LDAA | #880 | 139 | 210B | 58 | ASLB | |
| 90 | 2165 | B7 | 400A | STAA | PIA3BD | 140 | 210C | 18 | ABA | |
| 91 | 2168 | B6 | 400A | LDAA | PIA3BD | 141 | 210D | 16 | TAB | |
| 92 | 216B | B7 | 2062 | STAA | HOUR | 142 | 210E | 4F | CLRA | |
| 93 | 216E | B6 | 00 | LDAA | #0 | 143 | 210F | 0C | CLI | |
| 94 | 2170 | B7 | 2080 | STAA | LPND | 144 | 2100 | 58 | ASLB | |
| 95 | 2173 | CE | 2040 | LDX | IODATA | 145 | 2101 | 49 | ROLA | |
| 96 | 2176 | FF | 20B8 | STX | TMPX3 | 146 | 2102 | 58 | ASLB | |
| 97 | 2179 | CE | 2000 | LDX | #PARAMT | 147 | 2103 | 49 | ROLA | |
| 98 | 217C | FF | 20B2 | STX | TMPX0 | 148 | 2104 | A6 | 01 | |
| 99 | 217F | CE | 2070 | LDX | #ERRUR | 149 | 2106 | 58 | ASLB | |
| 100 | 2182 | FF | 208A | STX | TMPX4 | 150 | 2107 | 49 | ROLA | |
| 101 | 2185 | CE | 20A0 | SCAN | LDX #BCDIN | 151 | 2108 | AB | 01 | |
| 102 | 2188 | FF | 20BC | STX | TMPX5 | 152 | 210A | 46 | RORA | |
| 103 | 218B | B6 | 20B0 | LDAA | LPNO | 153 | 210B | 47 | RORB | |
| 104 | 218E | 0C | | CLC | | 154 | 210C | 46 | RORA | |
| 105 | 218F | 46 | | RORA | | 155 | 210D | 47 | RORB | |
| 106 | 2190 | 46 | | RORA | | 156 | 210E | 46 | RORA | |
| 107 | 2191 | 46 | | RORA | | 157 | 210F | 47 | RORB | |
| 108 | 2192 | 46 | | RORA | | 158 | 2100 | FE | 20B8 | |
| 109 | 2193 | B7 | 4002 | STAA | PIA1BD | 159 | 21E3 | A7 | 00 | |
| 110 | 2196 | B6 | 10 | LDAA | #010 | 160 | 21E5 | E7 | 01 | |
| 111 | 2198 | B7 | 4002 | STAA | PIA1BD | 161 | 21E7 | FE | 20B2 | |
| 112 | 219B | B6 | 4002 | EOC | LDAA | PIA1BD | 162 | 21EA | A6 | 00 |
| 113 | 219E | B4 | 08 | ANDA | #008 | 163 | 21EC | B7 | 20A7 | |
| 114 | 21A0 | 27 | F9 | BEQ | EOC | 164 | 21EF | A6 | 01 | |
| 115 | 21A2 | C6 | 01 | LDBA | #1 | 165 | 21F1 | B7 | 20A8 | |
| 116 | 21A4 | B6 | 4002 | STROBE | LDAA | PIA1BD | 166 | 21F4 | FE | 20B8 |
| 117 | 21A7 | B4 | 07 | ANDA | #7 | 167 | 21F7 | A6 | 00 | |
| 118 | 21A9 | 11 | | CBA | | 168 | 21F9 | A7 | 02 | |
| 119 | 21AA | 26 | F8 | BNE | STROBE | 169 | 21FB | A6 | 01 | |
| 120 | 21AC | B6 | 4002 | LDAA | PIA1BD | 170 | 21FD | A7 | 03 | |
| 121 | 21AF | B4 | 0F | ANDA | #00F | 171 | 21FF | FE | 20B2 | |
| 122 | 21B1 | A7 | 00 | STAA | 0,X | 172 | 2202 | A6 | 06 | |
| 123 | 21B3 | B6 | 04 | LDAA | #4 | 173 | 2204 | E6 | 07 | |
| 124 | 21B5 | 11 | | CBA | | 174 | 2206 | FE | 20B8 | |
| 125 | 21B6 | 2F | 04 | BLE | B1NADJ | 175 | 2209 | E0 | 01 | |
| 126 | 21B8 | 08 | | INX | | 176 | 220B | A2 | 00 | |
| 127 | 21B9 | 58 | | ASLB | | 177 | 220D | FE | 20B8 | |
| 128 | 21BA | 20 | E8 | BRA | STROBE | 178 | 2210 | A7 | 00 | |
| 129 | 21BC | FE | 20BC | B1NADJ | LDX | 179 | 2212 | E7 | 01 | |
| 130 | 21BF | A6 | 00 | LDAA | 0,X | 180 | 2214 | B7 | 20AB | |
| 131 | 21C1 | E6 | 02 | LDBA | 2,X | 181 | 2217 | F7 | 20AB | |
| 132 | 21C3 | 58 | | ASLB | | 182 | 221A | BD | 2327 | |

MULT16

| | | | | | | | | | | | | |
|-----|------|----|------|--------|--------|-------|------|------|------|-------------|-------------|--------|
| 183 | 221D | FE | 20BC | LDX | TMPX5 | 233 | 228F | 84 | 00 | ADCB | #0 | |
| 184 | 2220 | B6 | 20AC | LDAA | U0 | 234 | 2291 | EB | 03 | ADD8 | 3,x | |
| 185 | 2223 | A7 | 03 | STAA | 3,X | 235 | 2293 | EB | 05 | ADD8 | 5,x | |
| 186 | 2225 | B6 | 20AD | LDAA | U1 | 236 | 2295 | FB | 20AC | ADD8 | U0 | |
| 187 | 2228 | A7 | 04 | STAA | 4,X | 237 | 2298 | FE | 20B8 | LDX | TMPX3 | |
| 188 | 222A | FE | 20BA | LDX | TMPX4 | 238 | 2298 | A7 | 03 | STAA | 3,x | |
| 189 | 222D | A6 | 00 | LDAA | 0,X | 239 | 229D | E7 | 02 | STAB | 2,x | |
| 190 | 222F | E6 | 01 | LDAE | 1,X | 240 | 229F | B6 | 20B0 | LDAA | LPNO | |
| 191 | 2231 | EB | 05 | ADD8 | 5,X | 241 | 22A2 | 80 | 07 | SUBA | #7 | |
| 192 | 2233 | A9 | 04 | ADCA | 4,X | 242 | 22A4 | 2C | 1E | BOE | TRANS2 | |
| 193 | 2235 | A7 | 04 | STAA | 4,X | 243 | 22A6 | 7C | 20B0 | INC | LPNO | |
| 194 | 2237 | E7 | 05 | STAB | 5,X | 244 | 22A9 | B6 | 20B3 | LDAA | TMPX01 | |
| 195 | 2239 | OC | | CLC | | 245 | 22AC | BB | 08 | ADDA | #8 | |
| 196 | 223A | 58 | | ASLB | | 246 | 22AE | B7 | 20B3 | STAA | TMPX01 | |
| 197 | 223B | 49 | | ROLA | | 247 | 22B1 | B6 | 20B9 | LDAA | TMPX31 | |
| 198 | 223C | B7 | 20AA | STAA | XX0 | 248 | 22B4 | BB | 08 | ADDA | #4 | |
| 199 | 223F | F7 | 20AB | STAB | XX1 | 249 | 22B6 | B7 | 20B9 | STAA | TMPX31 | |
| 200 | 2242 | FE | 20B2 | LDX | TMPX0 | 250 | 22B9 | B6 | 20B8 | LDAA | TMPX41 | |
| 201 | 2245 | A6 | 02 | LDAA | 2,X | 251 | 22B8 | BB | 06 | ADDA | #6 | |
| 202 | 2247 | B7 | 20A7 | STAA | Y0 | 252 | 22B8 | B7 | 20B8 | STAA | TMPX41 | |
| 203 | 224A | A6 | 03 | LDAA | 3,X | 253 | 22C1 | 7E | 2185 | JMP | SCAN | |
| 204 | 224C | B7 | 20A2 | STAA | Y1 | 254 | 22C4 | CE | 2040 | TRANS2 | LDX #10DATA | |
| 205 | 224F | B0 | 2327 | JSR | MULT1A | 255 | 22C7 | FF | 20B4 | STX | TMPX1 | |
| 206 | 2252 | FE | 20BC | LDX | TMPX5 | 256 | 22CA | CE | 1040 | LDX | #MEM2IU | |
| 207 | 2255 | B6 | 20AC | LDAA | U0 | 257 | 22CD | FF | 20B6 | STX | TMPX2 | |
| 208 | 2258 | A7 | 05 | STAA | 5,X | 258 | 22D0 | C6 | 23 | LDAB | #35 | |
| 209 | 225A | B6 | 20AD | LDAA | U1 | 259 | 22D2 | BD | 22E3 | JSR | TRANS | |
| 210 | 225D | A7 | 06 | STAA | 6,X | 260 | 22D5 | 7E | 2138 | JMP | PARALD | |
| 211 | 225F | FE | 20BA | LDX | TMPX4 | 261 | 22D8 | 16 | | BITIME TAB | | |
| 212 | 2262 | A6 | 00 | LDAA | 0,X | 262 | 22D9 | C4 | F0 | AND8 | #\$FO | |
| 213 | 2264 | E6 | 01 | LDBB | 1,X | 263 | 22D8 | 84 | 0F | ANDA | #\$OF | |
| 214 | 2266 | E0 | 03 | SUBB | 3,X | 264 | 22D0 | 54 | | LSRB | | |
| 215 | 2268 | A2 | 02 | SBCA | 2,X | 265 | 22DE | 1B | | ABA | | |
| 216 | 226A | OC | | CLC | | 266 | 22DF | 54 | | LSRB | | |
| 217 | 226B | 47 | | ASRA | | 267 | 22E0 | 54 | | ABA | | |
| 218 | 226C | 47 | | RORB | | 268 | 22E1 | 1B | | RTS | | |
| 219 | 226D | B7 | 20AA | STAA | XX0 | 269 | 22E2 | 39 | | TRANS PSH | B | |
| 220 | 2270 | F7 | 20B8 | STAB | XX1 | 270 | 22E3 | 37 | | LDAA | #\$10 | |
| 221 | 2273 | FE | 20B2 | LDX | TMPX0 | 271 | 22E4 | 86 | 10 | STAA | PIAZBD | |
| 222 | 2276 | A6 | 04 | LDAA | 4,X | 272 | 22E6 | B7 | 4006 | LDAA | #2 | |
| 223 | 2278 | B7 | 20A7 | STAA | Y0 | 273 | 22E9 | 86 | 02 | LDAB | | |
| 224 | 227B | A6 | 05 | LDAA | 5,X | 274 | 22EB | C6 | 02 | DELAY1 DECB | | |
| 225 | 227D | B7 | 20A8 | STAA | Y1 | 275 | 22ED | 5A | | DELAY1 DECB | | |
| 226 | 2280 | B0 | 2327 | JSR | MULT1C | 276 | 22EE | 24 | FD | BNE | DELAY1 | |
| 227 | 2283 | FE | 20BC | LDX | TMPX5 | 277 | 22F0 | 4A | | AKNH DECA | | |
| 228 | 2286 | 5F | | CLRH | | 278 | 22F1 | 27 | 33 | BEQ | RETURN | |
| 229 | 2287 | A6 | 04 | LDAA | 4,X | 279 | 22F3 | 84 | 80 | ANDA | #\$80 | |
| 230 | 2289 | AB | 06 | ADDA | 6,X | 280 | 22F5 | 27 | F9 | BEQ | AKNH | |
| 231 | 228B | 59 | | ROLB | | 281 | 22F7 | 86 | 30 | LDAA | #\$30 | |
| 232 | 228C | BB | 20AD | ADDA | U1 | 282 | 22F9 | B7 | 4006 | STAA | PIAZBD | |
| 283 | 22FC | C6 | 60 | DELAY2 | LDAB | #\$60 | 333 | 236D | 7F | 20A9 | SHIFT | CLR FF |
| 284 | 22FE | 5A | | DEC8 | DEC8 | 334 | 2370 | 76 | 20A7 | ROR | VO | |
| 285 | 22FF | 26 | FD | BNE | DELAY2 | 335 | 2373 | 76 | 20A8 | ROR | V1 | |
| 286 | 2301 | 33 | | PUL | B | 336 | 2376 | 79 | 20A9 | ROL | FF | |
| 287 | 2302 | FE | 20B4 | TRANS1 | LDX | TMPX1 | 337 | 2379 | 77 | 20AC | ASR | U0 |
| 288 | 2305 | A6 | 00 | LDAA | 0,X | 338 | 237C | 76 | 20AD | ROR | U1 | |
| 289 | 2307 | FE | 20B6 | LDX | TMPX2 | 339 | 237F | 76 | 20AE | ROR | U2 | |
| 290 | 230A | A7 | 00 | STAA | 1,X | 340 | 2382 | 76 | 20AF | ROR | U3 | |
| 291 | 230C | 5A | | DEC8 | | 341 | 2385 | 09 | | DEX | | |
| 292 | 230D | 27 | 08 | BER | HESE1 | 342 | 2386 | 26 | B1 | BNE | 'MLP2 | |
| 293 | 230F | 7C | 20B4 | INC | TMPX1 | 343 | 2388 | 39 | | RTS | | |
| 294 | 2312 | 7C | 20B6 | INC | TMPX2 | 344 | 2389 | 01 | | OUT NOP | | |
| 295 | 2315 | 20 | EB | BRA | TRANS1 | 345 | 238A | | | END | | |
| 296 | 2317 | 86 | 10 | RESET | LDAA | #\$10 | | | | | | |
| 297 | 2319 | B7 | 4006 | STAA | PIAZBD | | | | | | | |
| 298 | 231C | C6 | 60 | DELAY3 | LDBB | #\$60 | | | | | | |
| 299 | 231E | 5A | | DEC8 | DEC8 | | | | | | | |
| 300 | 231F | 26 | FD | BNE | DELAY3 | | | | | | | |
| 301 | 2321 | 56 | 00 | LDAA | #\$0 | | | | | | | |
| 302 | 2323 | B7 | 4006 | STAA | PIAZBD | | | | | | | |
| 303 | 2326 | 39 | | RETURN | RTS | | | | | | | |
| 304 | 2327 | CE | 20AC | MULT16 | LDX | #\$00 | | | | | | |
| 305 | 232A | 4F | | CLRA | | | | | | | | |
| 306 | 232B | B7 | 20A9 | STAA | FF | | | | | | | |
| 307 | 232E | C6 | 03 | LDBB | #\$3 | | | | | | | |
| 308 | 2330 | A7 | 03 | MLP1 | STAA | 3,X | | | | | | |
| 309 | 2332 | 09 | | DEX | | | | | | | | |
| 310 | 2333 | 5A | | DEC8 | | | | | | | | |
| 311 | 2334 | 2C | FA | BGE | MLP1 | | | | | | | |
| 312 | 2336 | CE | 0010 | LDX | #\$16 | | | | | | | |
| 313 | 2339 | B6 | 20AB | MLP2 | LDAA | Y1 | | | | | | |
| 314 | 233C | B4 | 01 | ANDA | #\$1 | | | | | | | |
| 315 | 233E | 16 | | TAB | | | | | | | | |
| 316 | 233F | BB | 20A9 | EORA | FF | | | | | | | |
| 317 | 2342 | 27 | 29 | BEQ | SHIFT | | | | | | | |
| 318 | 2344 | 50 | | TST | B | | | | | | | |
| 319 | 2345 | 27 | 14 | BEQ | ADD | | | | | | | |
| 320 | 2347 | B6 | 20AD | LDAA | U1 | | | | | | | |
| 321 | 234A | F6 | 20AC | LDBB | U0 | | | | | | | |
| 322 | 234D | B0 | 20AB | SUBA | XX1 | | | | | | | |
| 323 | 2350 | F2 | 20AA | SBCR | XX0 | | | | | | | |
| 324 | 2353 | B7 | 20AD | STAA | U1 | | | | | | | |
| 325 | 2356 | F7 | 20AC | STAB | U0 | | | | | | | |
| 326 | 2359 | 20 | 12 | BRA | SHIFT | | | | | | | |
| 327 | 235B | B6 | 20AD | ADD | LDAA | U1 | | | | | | |
| 328 | 235E | F6 | 20AC | LDBB | U0 | | | | | | | |
| 329 | 2361 | BB | 20AB | ADDA | XX1 | | | | | | | |
| 330 | 2364 | F8 | 20AA | ADDA | XX0 | | | | | | | |
| 331 | 2367 | B7 | 20AD | STAA | U1 | | | | | | | |
| 332 | 236A | F7 | 20AC | STAB | U0 | | | | | | | |